

# 晚发型线粒体脑肌病伴高乳酸血症和卒中样发作临床特点

赵丹华 赵旭彤 邢海英 张晓 张哲 刘献增 袁云 王朝霞

**【摘要】 目的** 总结 10 例晚发型线粒体脑肌病伴高乳酸血症和卒中样发作(MELAS)患者的临床、病理及基因突变特点。**方法与结果** 回顾分析 2007 年 1 月至 2018 年 12 月共 10 例晚发型 MELAS 患者的临床资料, 8 例患者行骨骼肌组织活检术。聚合酶链反应-限制性片段长度多态性和线粒体 DNA (mtDNA) 全长测序法进行 mtDNA 突变筛查; 焦磷酸测序法检测部分患者血液 m.3243A > G 突变比例。结果显示, 10 例患者首次脑卒中样发作的年龄为 40~67 岁, 其主要表现包括癫痫发作、失语、头痛、痴呆、精神障碍、肢体轻瘫及视力下降, 既往糖尿病 5 例、神经性耳聋 6 例、高血压 3 例、脑梗死 2 例。6 例患者有母系遗传的糖尿病家族史, 2 例有 MELAS 家族史。辅助检查可见 6 例有高脂血症, 6 例有颈动脉粥样硬化, 1 例有右颈内动脉及大脑中动脉狭窄。头部 MRI 显示累及 1 个或多个脑叶的皮质病变, 4 例同时存在脑干及基底节区多发缺血灶。7 例肌肉组织活检发现破碎红纤维及琥珀酸脱氢酶深染血管, 1 例未见明显异常。基因分析显示, 10 例患者均携带 mtDNA 突变, 9 例为 m.3243A > G 突变, 1 例为 m.10191T > C 突变。7 例 m.3243A > G 突变患者血液中突变比例为 9%~33%。**结论** 晚发型 MELAS 患者的临床表型与经典型患者无明显差异, 但发病年龄晚, 并可合并多种脑血管危险因素及大动脉粥样硬化。m.3243A > G 突变为本组晚发型 MELAS 患者的热点突变, 但血液中突变比例较低。

**【关键词】** MELAS 综合征; 晚发性障碍; DNA, 线粒体; 突变

## Clinical features of the late - onset mitochondrial encephalomyopathy with lactic acidosis and stroke-like episodes

ZHAO Dan-hua<sup>1</sup>, ZHAO Xu-tong<sup>1</sup>, XING Hai-ying<sup>1</sup>, ZHANG Xiao<sup>1</sup>, ZHANG Zhe<sup>1</sup>, LIU Xian-zeng<sup>2</sup>, YUAN Yun<sup>1</sup>, WANG Zhao-xia<sup>1</sup>

<sup>1</sup>Department of Neurology, Peking University First Hospital, Beijing 100034, China

<sup>2</sup>Department of Neurology, Peking University International Hospital, Beijing 102206, China

Corresponding author: WANG Zhao-xia (Email: drwangzx@163.com)

**【Abstract】 Objective** To summarize the clinical, pathological and genetic features of 10 patients with late-onset mitochondrial encephalomyopathy with lactic acidosis and stroke-like episodes (MELAS). **Methods and Results** The clinical data of 10 patients with late-onset MELAS were retrospectively analyzed from January 2007 to December 2018. Muscle biopsy was performed in 8 cases. Polymerase chain reaction-fragment length polymorphism (PCR-RFLP) analysis and whole sequencing of mitochondrial DNA (mtDNA) were used to screen mtDNA mutations, and the mutation load of m.3243A > G in blood was detected by pyrophosphate sequencing. The onset age of the first stroke-like episodes were 40-67 years old in all patients. The main manifestations included epilepsy, aphasia, headache, dementia, mental disorder, limb paralysis and visual impairment. Past history revealed 5 cases with diabetes mellitus, 6 with deafness, 3 with hypertension and 2 with stroke. Six patients had a family history of maternally inherited diabetic mellitus, and 2 had a family history of MELAS. Laboratory examination revealed 6 cases with hyperlipidemia, 6 with carotid atherosclerosis, 1 with stenosis of right internal carotid artery and middle cerebral artery. Brain MRI showed cortex lesions involving one or more lobes in all patients, and 4 cases also had multiple infarctions in brainstem and basal ganglia. Muscle biopsy demonstrated ragged red fiber

doi: 10.3969/j.issn.1672-6731.2020.03.015

作者单位: 100034 北京大学第一医院神经内科[赵丹华(现在北京大学国际医院神经内科, 邮政编码: 102206), 赵旭彤, 邢海英, 张晓, 张哲, 袁云, 王朝霞]; 102206 北京大学国际医院神经内科(刘献增)

通讯作者: 王朝霞, Email: drwangzx@163.com

(RRF) and strongly succinate dehydrogenase-stained vessels (SSVs) in all of 8 patients except one. Genetic analysis identified 9 cases with m.3243A > G, and 1 with m.10191T > C mutation. The blood mutation load of m.3243A > G was 9%–33% in 7 cases. **Conclusions** The clinical phenotype of patients with late-onset MELAS was not significantly different from that of typical patients. However, the age of onset in late-onset MELAS was late, and it could be complicated with a variety of cerebrovascular risk factors and atherosclerosis. The hotspot mutation of this group of late-onset MELAS patients was m.3243A > G, but the mutation rate in blood was low.

**【Key words】** MELAS syndrome; Late onset disorders; DNA, mitochondrial; Mutation

**Conflicts of interest:** none declared

线粒体脑肌病伴高乳酸血症和卒中样发作 (MELAS) 是常见的线粒体脑肌病之一, 具有多系统受累的特点, 常见的症状有脑卒中样发作、头痛、癫痫、认知功能减退、糖尿病、耳聋、运动不耐受、身材矮小及多毛等。骨骼肌活检可见特征性破碎红纤维 (RRF) 和 (或) 琥珀酸脱氢酶深染血管 (SSVs)。80% 以上的患者存在线粒体 DNA (mtDNA) 3243A > G 突变<sup>[1]</sup>。脑卒中样发作是 MELAS 的核心症状, 表现为突发的偏盲/皮质盲、失语、偏瘫及精神症状, 头部 MRI 显示为顶、枕、颞叶交界区大片长 T<sub>2</sub> 信号。经典型 MELAS 患者在 40 岁之前出现脑卒中样发作症状<sup>[2]</sup>, 仅 1% ~ 6% 的患者 40 岁以后发病, 称之为晚发型 MELAS, 临床相对罕见, 仅见个案报道<sup>[3-16]</sup>。因临床医师对晚发型患者的认识程度不够, 导致患者从就诊至确诊的时间明显延长。因此, 我们总结 10 例晚发型 MELAS 患者的临床、病理及基因突变特点, 探讨该类型患者的疾病发展规律。

## 临床资料

### 一、病例选择

1. 纳入与排除标准 (1) 符合 2012 年 Yatsuga 等<sup>[17]</sup>提出的 MELAS 诊断标准: A 临床表现符合脑卒中样发作特点, ①头痛伴呕吐。②癫痫发作。③偏瘫。④皮质盲或偏盲。⑤头部 CT 和 (或) MRI 证实颅内局灶的急性病变。B 有线粒体功能障碍证据, ①静息血浆和 (或) 脑脊液乳酸  $\geq 2$  mmol/L, 或者线粒体相关酶活性缺乏。②肌肉活检提示线粒体功能障碍, 如出现 RRF、SSVs 或细胞色素 C 氧化酶 (COX) 阴性肌纤维, 或者电子显微镜显示肌纤维内异常线粒体聚集。③存在可以导致 MELAS 的致病性 mtDNA 突变。确诊 MELAS 需要至少同时满足 A 项中的 2 项以及 B 项中的 2 项标准。(2) 首次脑卒中样发作的年龄  $\geq 40$  岁。(3) 临床资料完整。(4) 排

除临床以皮质病变为主但骨骼肌病理学检查及 mtDNA 基因检测均无阳性发现的患者。(5) 排除首次脑卒中样发作年龄 < 40 岁的患者。(6) 排除临床资料不完整的患者。(7) 本研究经北京大学第一医院道德伦理委员会审核批准, 所有患者对各项检查项目均知情同意并签署知情同意书。

2. 一般资料 选择 2007 年 1 月至 2018 年 12 月在北京大学第一医院神经内科确诊的晚发型 MELAS 患者共 10 例, 其中男性 1 例, 女性 9 例。就诊时年龄 45 ~ 67 岁, 平均年龄 52 岁, 首次脑卒中样发作年龄 40 ~ 67 岁, 平均年龄 50 岁, 脑卒中样发作次数共 13 次。此 10 例患者分别来自无血缘关系的不同家庭。

### 二、临床特点

1. 临床表现 本组 10 例晚发型 MELAS 患者主要临床表现有癫痫发作 6 例、感觉性失语 6 例、头痛 5 例、认知功能障碍 3 例、意识障碍 3 例、头晕 3 例、精神障碍 2 例、肢体轻瘫 2 例、视力下降 1 例、听力减退 1 例。既往患糖尿病 5 例, 神经性耳聋 6 例, 高血压病 3 例, 丘脑梗死 1 例, 脑干梗死 1 例, 癫痫 1 例 (表 1); 长期吸烟 1 例, 身材矮小 3 例。6 例患者存在母系遗传的糖尿病家族史。2 例患者在发病前其子女已被诊断为 MELAS。

2. 辅助检查 实验室检查: 本组有 9 例患者肌酸激酶 (CK) 正常, 1 例 (例 5) 轻度升高至 246 U/L (25 ~ 170 U/L); 血脂升高者 6 例 (例 2、例 3、例 6、例 7、例 8、例 9), 其中甘油三酯 (TG) 1.72 ~ 2.91 mmol/L (< 1.70 mmol/L), 总胆固醇 (TC) 5.39 ~ 6.38 mmol/L (< 5.20 mmol/L), 低密度脂蛋白胆固醇 (LDL-C) 为 3.94 ~ 4.14 mmol/L (< 3.40 mmol/L), 正常者 4 例。影像学检查: 头部 MRI 显示脑卒中样发作急性期病灶主要累及 1 个或者多个脑叶的皮质肿胀以及皮质下水肿 (图 1a), 各脑叶受累次数分别为: 颞叶 9 次, 枕

表 1 10 例晚发型 MELAS 患者的临床、病理学资料及基因突变分析

Table 1. Clinical, pathological data and mtDNA mutation analysis of 10 patients with late-onset MELAS

序号	性别	年龄 (岁)	SLE 表现	既往史	家族史	头部 MRI 病灶部位	颈动脉超声	头部 MRA	骨骼肌病理	突变基因 (突变比例)
1	女性	45	头痛、反应迟钝、 癫痫发作	—	糖尿病	右侧额颞叶	/	/	RRF、 SSVs	m.3243A>G (13%)
		45	精神异常、感觉性失语、 听力减退			双侧颞叶	/	/		
2	女性	46	45 癫痫发作、偏头痛、眩晕、 发热、意识障碍	糖尿病、 缺血性卒中	糖尿病	双侧枕叶、脑干梗死；双侧 基底节区及侧脑室旁缺血 灶	斑块	—	RRF、 SSVs	m.3243A>G (/)
3	女性	46	46 眩晕、头痛、感觉性失语、 轻偏瘫、反应迟钝、癫痫 发作	糖尿病、高血压	糖尿病	左侧颞顶枕叶、右侧小脑	斑块	右颈内动脉及 右大脑中动脉狭窄	/	m.3243A>G (9%)
4	女性	46	46 感觉性失语、精神异常、 头痛	耳聋、癫痫	MELAS	左侧颞叶、基底节区缺血灶	/	/	RRF、 SSVs	m.3243A>G (33%)
5	女性	58	51 癫痫发作、痴呆	糖尿病、耳聋	糖尿病	右侧额叶	/	/	/	m.3243A>G (20%)
		58	意识障碍、糖尿病酮症 酸中毒			双侧颞顶叶、右侧枕叶	/	/		
6	女性	52	52 感觉性失语、癫痫发作、 意识障碍	糖尿病、耳聋	糖尿病、 MELAS	左侧颞顶枕叶、左侧丘脑	—	—	RRF、 SSVs	m.3243A>G (16%)
7	女性	67	67 感觉性失语、昏迷	耳聋、高血压	—	左侧颞枕叶伴出血，双侧放 射冠、左侧基底节区缺血灶	斑块	—	RRF、 SSVs	m.3243A>G (16%)
8	女性	49	47 头痛、感觉性失语、 轻偏瘫	耳聋	耳聋、 糖尿病	左侧颞叶、左侧丘脑	斑块	—	RRF、 SSVs	m.3243A>G (/)
9	男性	53	50 头晕、视物不清	糖尿病、耳聋、高 血压、缺血性卒中	—	左侧颞枕叶；右侧基底节区 软化灶	斑块	—	RRF、 SSVs	m.3243A>G (15%)
10	女性	53	53 癫痫持续状态	—	—	左侧额叶	斑块	—	—	m.10191T>C
		53	肢体麻木、癫痫持续状态	—	—	右侧额叶、左侧顶枕叶、左 侧丘脑、右侧小脑	/	/		

—, no abnormal, 无异常; /, unchecked, 未检测。SLE, stroke-like episodes, 脑卒中样发作; RRF, ragged red fiber, 破碎红纤维; SSVs, strongly succinate dehydrogenase-stained vessels, 琥珀酸脱氢酶深染血管; MELAS, mitochondrial encephalomyopathy with lactic acidosis and stroke-like episodes, 线粒体脑肌病伴高乳酸血症和卒中样发作

叶 7 次, 顶叶 4 次, 额叶 4 次, 丘脑 3 次, 小脑 2 次。有 4 例患者同时合并脑干、基底节区或放射冠区的多发缺血灶(图 1b), 1 例患者有病灶内少量出血。7 例患者行头部 MRA 检查, 1 例存在右颈内动脉及大脑中动脉狭窄, 狭窄程度约 50%, 6 例正常。超声检查: 7 例患者行颈动脉超声, 其中 6 例存在动脉粥样硬化斑块, 1 例无异常。骨骼肌病理学检查: 共 8 例患者获得其知情同意后行肱二头肌组织活检术, HE 染色显示肌束内结缔组织无明显增生, 肌间小血管壁无明显增厚, 血管周围无炎性细胞浸润和异常物质沉积, 肌纤维排列紧密, 可见个别小圆状萎缩肌纤维, 未见肥大、坏死、再生肌纤维; 改良 Gomori 三色(MGT)染色可见个别 RRF。油红 O(ORO)染色显示破碎样肌纤维内脂肪滴轻度增多。高碘酸-雪夫(PAS)染色可见破碎肌纤维缺乏糖原。其中 7 例可观察到典型 RRF(图 2a)、COX 阴性肌纤维及 SSVs(图 2b), 符合线粒体病的病理改变特点; 1 例未见典型病理改变。mtDNA 突变检测: 采用聚合酶链反应-限制性片段长度多态性(PCR-RFLP)法对所有患

者进行 mtDNA 热点突变筛查, 主要包括 3243A>G、8344 A>G 及 8993T>C(G) 突变; 采用焦磷酸测序法测定血液中 3243A>G 突变的比例; 对未见上述位点突变者, 进一步应用第二代测序技术(NGS)行 mtDNA 全长序列检测。结果显示, 10 例患者中 9 例存在 m.3243A>G 突变, 其中有 7 例患者经焦磷酸测序法检测其血液中的突变比例为 9%~33%; 另 1 例患者未检测到上述突变, 该例患者的骨骼肌活检亦无典型线粒体病改变, 进一步提取该例患者的肌肉组织 DNA, 进行 mtDNA NGS 测序, 发现其存在致病性 m.10191T>C 突变。

## 讨 论

本研究中的 10 例患者均经骨骼肌病理和基因检查明确诊断, 首次脑卒中样发作均在 40 岁以后, 与 1992 年 Hirano 等<sup>[2]</sup>提出的 40 岁之前出现脑卒中样发作的诊断标准不同, 我们将其称之为晚发型 MELAS。目前文献所报道的晚发型 MELAS 患者的发病年龄均超过 40 岁, 最大为 80 岁<sup>[12]</sup>, 仅 1 例为

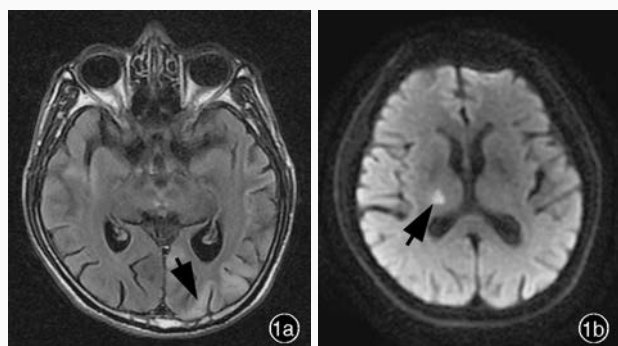


图1 例9患者,男性,53岁,先后被诊断为急性缺血性卒中及 MELAS,头部 MRI 检查所见 1a 横断面 T<sub>2</sub>-FLAIR 成像显示左侧颞枕叶高信号(脑卒中样发作急性期,箭头所示) 1b 横断面 DWI 显示右侧丘脑急性梗死灶(箭头所示)

**Figure 1** Brain MRI findings of Case 9 A 53-year-old male patient was diagnosed as acute ischemic stroke and MELAS successively. Axial T<sub>2</sub>-FLAIR disclosed hyperintensity in the left temporal and occipital lobes (the acute stage of stroke-like episodes; arrow indicates, Panel 1a). Axial DWI revealed acute infarction of right thalamus (arrow indicates, Panel 1b).

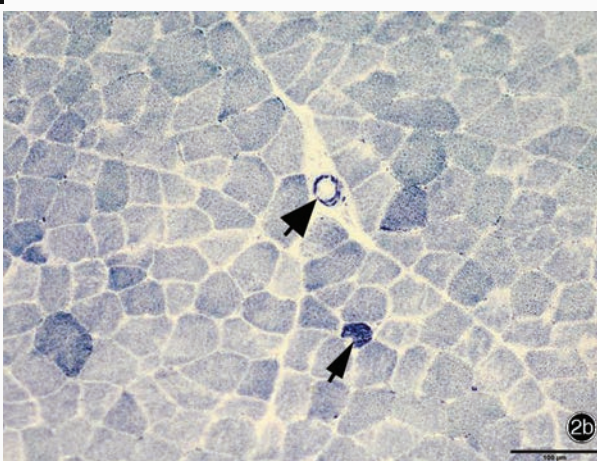
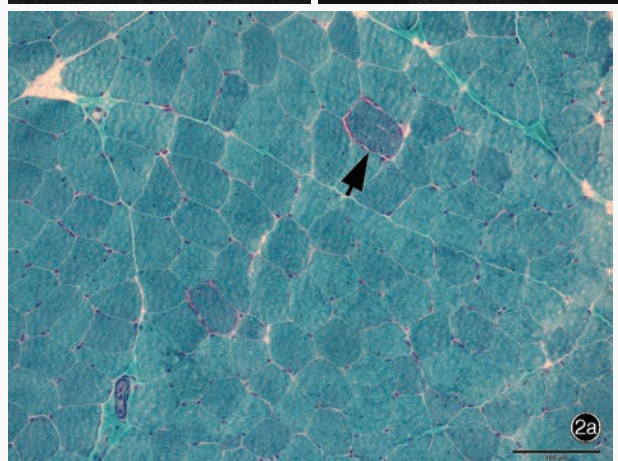


图2 例9患者肌肉组织活检所见 ×200 2a 肌束内可见 RRF(箭头所示) 改良 Gomori 三色染色 2b 肌束内可见破碎蓝纤维(细箭头所示)和 SSVs(粗箭头所示) SDH 染色

**Figure 2** Muscle biopsy of Case 9 ×200 RRF was observed in the muscle bundle (arrow indicates). MGT staining The ragged blue fibers (thin arrow indicates) and SSVs (thick arrow indicates) could be seen. SDH staining

36 岁发病<sup>[18]</sup>。由于脑卒中样发作是诊断 MELAS 的必备条件,因此,在本研究中我们将 MELAS 的发病年龄定义为首次脑卒中样发作的年龄,而非糖尿病、耳聋等其他症状出现的年龄<sup>[18]</sup>。本组患者主要的临床表现有脑卒中样发作、癫痫发作、头痛、失语、痴呆、精神障碍、耳聋和运动不耐受,与典型的 MELAS 患者无明显差异<sup>[19]</sup>。但本组患者有显著的脑血管病危险因素,除糖尿病外,还可见高血压(3/10)及高脂血症(6/10),且颈动脉粥样硬化(6/7)及大脑中动脉狭窄(1/7)的比例也明显升高,这些因素都导致晚发型 MELAS 易被误诊为缺血性卒中。甚至有患者首先出现了缺血性卒中,而后才出现 MELAS 的脑卒中样发作,提示晚发型 MELAS 患者可以合并缺血性卒中。通过总结我们发现,详细的病史和家族史是明确诊断的第一步。本组 9 例携带 m.3243A>G 突变的患者有多年的糖尿病和(或)神经性耳聋病史,6 例有母系遗传家族史,是提示 MELAS 诊断的重要线索。此外,虽然偏瘫是缺血性

卒中的常见症状,但在本组患者中并不常见,仅 2 例在脑卒中样发作时出现偏瘫,比例较低。

脑卒中样发作的神经影像学特点也有助于诊断 MELAS。本组晚发型患者的脑卒中样发作病灶主要分布在颞叶、枕叶和顶叶交界区,额叶和丘脑也可以被累及,与典型的 MELAS 患者无差异。上述病灶不符合血管分布,而且 DWI 上显示皮质高信号,提示细胞毒性水肿,而皮质下病灶无高信号,提示血管源性水肿,这些特点均与缺血性卒中不符。但值得注意的是,晚发型 MELAS 患者除上述典型 MELAS 皮质病变外,也可出现腔隙性缺血灶及梗死灶,主要分布在脑干、基底节区或放射冠区,为脑小血管病的常见受累部位,且这种改变并不少见<sup>[20]</sup>。

RRF 是 MELAS 患者的典型病理改变,也是诊断 MELAS 的病理标准之一。但是,RRF 并非见于所有的 MELAS 患者,仍有少部分患者骨骼肌病理无 RRF。本研究行肌肉组织活检的 8 例患者中,有 1 例(例 10)病理未见 RRF。目前研究认为,RRF 的形成

与肌纤维内突变型线粒体的比例、线粒体的增生程度及基因突变类型有关<sup>[21]</sup>。若肌纤维内突变型线粒体的比例较低或低龄时异常线粒体累积较少,可以无 RRF 出现,此后随着年龄的增长及异常线粒体的增多,才有 RRF 形成。此外,不同 mtDNA 突变出现 RRFs 的比例也有所不同。在携带编码还原型烟酰胺腺嘌呤二核苷酸(NADH)脱氢酶(ND)亚单位的 mtDNA 突变的患者中,RRF 阴性的比例高于 mtDNA 的转运 RNA(tDNA)编码基因突变<sup>[1,21]</sup>。而本组例 10 为 ND3 基因编码区 m.10191T>C 突变,推测是导致其 RRF 阴性的主要原因。

本组 10 例患者有 9 例携带 m.3243A>G 突变,提示 m.3243A>G 突变为晚发型 MELAS 的热点突变,与经典型患者相同<sup>[19]</sup>。回顾已报道的 28 例晚发型 MELAS 患者的基因检测结果,其中 m.3243A>G 突变 24 例, m.4332G>A、m.13513G>A、m.13635C>A 和 m.14487T>C 突变各 1 例<sup>[3-16]</sup>,也支持这一结论。由此推测,共同的分子生物学基础是晚发型和经典型患者临床表型基本一致的原因。本组患者血液中 m.3243A>G 突变的比例较低,与文献中 4%~31% 的比例接近<sup>[3,5,12,14]</sup>,因此推测突变比例低可能是脑卒中样发作出现较晚的原因。有研究发现,当 m.3243A>G 突变的比例在 10%~30% 之间时,临床表型以糖尿病为主<sup>[22]</sup>,由此提示线粒体糖尿病患者随着年龄的增长,可能进展为 MELAS。因此,早期识别这部分患者,及早给予左旋精氨酸、辅酶 Q10 以及左旋肉碱等药物治疗,可能延缓脑卒中样发作的发生。

利益冲突 无

### 参 考 文 献

- [1] Zhao D, Hong D, Zhang W, Yao S, Qi X, Lv H, Zheng R, Feng L, Huang Y, Yuan Y, Wang Z. Mutations in mitochondrially encoded complex I enzyme as the second common cause in a cohort of Chinese patients with mitochondrial myopathy, encephalopathy, lactic acidosis and stroke-like episodes [J]. J Hum Genet, 2011, 56:759-764.
- [2] Hirano M, Ricci E, Koenigsberger MR, Defendini R, Pavlakis SG, DeVivo DC, DiMauro S, Rowland LP. MELAS: an original case and clinical criteria for diagnosis [J]. Neuromuscul Disord, 1992, 2:125-135.
- [3] Smith K, Chiu S, Hunt C, Chandregowda A, Babovic - Vuksanovic D, Keegan BM. Late - onset mitochondrial encephalopathy, lactic acidosis, and stroke - like episodes presenting with auditory agnosia [J]. Neurologist, 2019, 24:90-92.
- [4] Zhu K, Li S, Chen H, Wang Y, Yu M, Wang H, Zhao W, Cao Y. Late onset MELAS with m.3243A > G mutation and its association with aneurysm formation [J]. Metab Brain Dis, 2017, 32:1069-1072.
- [5] Sunde K, Blackburn PR, Cheema A, Cass J, Jackson J, Macklin S, Atwal PS. Case report: 5 year follow-up of adult late-onset mitochondrial encephalomyopathy with lactic acid and stroke-like episodes (MELAS) [J]. Mol Genet Metab Rep, 2016, 9:94-97.
- [6] Xu XB, Ji KQ, Lyu JW, Zhang S, Lyu XQ, Liu C, Li W, Yan CZ, Zhao YY. Late - onset mitochondrial disease in a patient with MELAS and mitochondrial DNA T14487C mutation [J]. Chin Med J (Engl), 2019, 132:716-718.
- [7] Kimata KG, Gordan L, Ajax ET, Davis PH, Grabowski T. A case of late-onset MELAS [J]. Arch Neurol, 1998, 55:722-725.
- [8] Kisanuki YY, Gruis KL, Smith TL, Brown DL. Late - onset mitochondrial myopathy, encephalopathy, lactic acidosis, and stroke like episodes with bitemporal lesions [J]. Arch Neurol, 2006, 63:1200-1201.
- [9] Bataillard M, Chatzoglou E, Rumbach L, Sternberg D, Tournade A, Laforêt P, Jardel C, Maisonneuve T, Lombès A. Atypical MELAS syndrome associated with a new mitochondrial tRNA glutamine point mutation [J]. Neurology, 2001, 56:405-407.
- [10] Fang GL, Zheng Y, Zhang YX. Mitochondrial encephalomyopathy with lactic acidosis and stroke-like episodes in an older adult mimicking cerebral infarction: a Chinese case report [J]. Clin Interv Aging, 2018, 13:2421-2424.
- [11] Vanniarajan A, Nayak D, Reddy AG, Singh L, Thangaraj K. Clinical and genetic uniqueness in an individual with MELAS [J]. Am J Med Genet B Neuropsychiatr Genet, 2006, 141B:440-444.
- [12] Aurangzeb S, Vale T, Tofaris G, Poulton J, Turner MR. Mitochondrial encephalomyopathy with lactic acidosis and stroke-like episodes (MELAS) in the older adult [J]. Pract Neurol, 2014, 14:432-436.
- [13] Ban R, Pu CQ, Liu HX, Shi Q, Wei MM, Song HW, Zhang YT. Late onset mitochondrial encephalomyopathy, lactic acidosis, and stroke-like episodes: one case report [J]. Zhonghua Shen Jing Ke Za Zhi, 2017, 50:773-774. [班瑞, 蒲传强, 刘华旭, 石强, 魏妙妙, 宋海文, 张羽彤. 成人晚发的线粒体脑肌病伴乳酸血症和卒中样发作一例 [J]. 中华神经科杂志, 2017, 50:773-774.]
- [14] Sinnecker T, Andelova M, Mayr M, Rüegg S, Sinnreich M, Hench J, Frank S, Schaller A, Stippich C, Wuerfel J, Bonati LH. Diagnosis of adult-onset MELAS syndrome in a 63-year-old patient with suspected recurrent strokes: a case report [J]. BMC Neurol, 2019, 19:91.
- [15] Hsu YC, Yang FC, Perng CL, Tso AC, Wong LJ, Hsu CH. Adult-onset of mitochondrial myopathy, encephalopathy, lactic acidosis, and stroke-like episodes (MELAS) syndrome presenting as acute meningoencephalitis: a case report [J]. J Emerg Med, 2012, 43:e163-166.
- [16] Gagliardi D, Mauri E, Magri F, Velardo D, Meneri M, Abati E, Brusa R, Faravelli I, Piga D, Ronchi D, Triulzi F, Peverelli L, Sciacco M, Bresolin N, Comi GP, Corti S, Govoni A. Can intestinal pseudo - obstruction drive recurrent stroke - like episodes in late - onset MELAS syndrome: a case report and review of the literature [J]? Front Neurol, 2019, 10:38.
- [17] Yatsuga S, Povalko N, Nishioka J, Katayama K, Kakimoto N, Matsuishi T, Kakuma T, Koga Y; Taro Matsuoka for MELAS Study Group in Japan. MELAS: a nationwide prospective cohort study of 96 patients in Japan [J]. Biochim Biophys Acta, 2012, 1820:619-624.
- [18] Jeppesen TD, Schwartz M, Hansen K, Danielsen ER, Wibrand F, Vissing J. Late onset of stroke-like episode associated with a 3256C-->T point mutation of mitochondrial DNA [J]. J Neurol

- Sci, 2003, 214:17-20.
- [19] Zhang Z, Zhao DH, Liu J, Zuo YH, Xiong H, Lü H, Zhang W, Yuan Y, Wang ZX. Clinical features of mitochondrial encephalomyopathy, lactic acidosis and stroke-like episodes: an analysis of 190 cases[J]. Zhonghua Shen Jing Ke Za Zhi, 2016, 49:237-242.[张哲, 赵丹华, 刘婧, 左越焕, 熊晖, 吕鹤, 张巍, 袁云, 王朝霞. 线粒体脑肌病伴乳酸血症和卒中样发作 190 例的临床特征分析[J]. 中华神经科杂志, 2016, 49:237-242.]
- [20] Xu W, Wen J, Sun C, Cao J, Li Y, Geng D. Conventional and diffusional magnetic resonance imaging features of mitochondrial encephalomyopathy, lactic acidosis, and stroke-like episodes in Chinese patients: a study of 40 cases [J]. J Comput Assist Tomogr, 2018, 42:510-516.
- [21] Lu Y, Deng J, Zhao Y, Zhang Z, Hong D, Yao S, Zhao D, Xie J, Fang H, Yuan Y, Wang Z. Patients with MELAS with negative myopathology for characteristic ragged-red fibers[J]. J Neurol Sci, 2020, 408:116499.
- [22] Picard M, Zhang J, Hancock S, Derbeneva O, Golhar R, Golik P, O'Hearn S, Levy S, Potluri P, Lvova M, Davila A, Lin CS, Perin JC, Rappaport EF, Hakonarson H, Trounce IA, Procaccio V, Wallace DC. Progressive increase in mtDNA 3243A>G heteroplasmy causes abrupt transcriptional reprogramming [J]. Proc Natl Acad Sci USA, 2014, 111:E4033-4042.  
(收稿日期:2020-02-27)

## 27th Congress of the European Society for Pediatric Neurosurgery

Time: May 3–6, 2020

Venue: Athens, Greece

Website: <https://www.erasmus.gr/microsites/1179>

The 27th Congress of the European Society for Pediatric Neurosurgery (ESPN) will take place in Athens, Greece on May 3–6, 2020. ESPN aims to organize an outstanding scientific and educational congress to facilitate the spread and exchange of knowledge, skills and attitudes, between experts, researchers, clinicians and trainees, and to continue the development of pediatric neurosurgery in Europe.

The ESPN Congress is organized on a biennial basis (traditionally in late April-early May) by the acting ESPN President in his country of origin. It is ESPN's main educational activity since its first organization in 1967 in Vienna, Austria, which constituted the Society's inaugural occasion. The Scientific Program is drafted by the ESPN Scientific Committee, in collaboration with the ESPN President. Plenary sessions host a series of invited lectures delivered by renowned experts in the field of Pediatric Neurosurgery and sister disciplines. Abstract submission on topics covering all major aspects of concurrent Pediatric Neurosurgery research and clinical practice lavishly provides for oral and poster presentations. Vibrant discussion is an integral part of all sessions, with the strategic positioning of Panel Tables on major issues addressed.

## 55th Annual Congress of Canadian Neurological Sciences Federation 2020

Time: June 7–10, 2020

Venue: Banff, Alberta, Canada

Website: <http://congress.cnsfederation.org/>

The 55th Canadian Neurological Sciences Federation (CNSF) Congress 2020 will take place in Banff, Alberta, Canada on June 7–10, 2020. This is a collegial meeting providing multidisciplinary courses relevant to all neuroscience specialties.

By the end of the Congress, delegates will be able to discuss advances in the management of acute and chronic neurological and neurosurgical disorders and their imaging appearances, discuss new findings in neurological and neurosurgical disorders and the role of neuroimaging in diagnosis and management, describe advances in neurological, neurosurgical and/or neuroimaging care and techniques; and identify areas where there are gaps in learning (unperceived needs) not realized before attending the Congress and extend this professional learning after the Congress to the enhanced care of patients.